

Starkniederschlagshöhen und -spenden gemäß KOSTRA-DWD-2020

Rasterfeld 147150

(Zeile 147, Spalte 150)

Regenspende und Bemessungsniederschlagswerte in Abhängigkeit von Wiederkehrzeit T und Dauerstufe D

| Dauerstufe D | | Wiederkehrzeit T | | | | | | | | | | | | | | | | | |
|--------------|-----|------------------|------------|------|------------|------|------------|------|------------|------|------------|-------|------------|-------|------------|-------|------------|-------|------------|
| | | 1 a | | 2 a | | 3 a | | 5 a | | 10 a | | 20 a | | 30 a | | 50 a | | 100 a | |
| min | Std | mm | l / (s ha) | mm | l / (s ha) | mm | l / (s ha) | mm | l / (s ha) | mm | l / (s ha) | mm | l / (s ha) | mm | l / (s ha) | mm | l / (s ha) | mm | l / (s ha) |
| 5 | | 7,1 | 236,7 | 8,9 | 296,7 | 10,0 | 333,3 | 11,4 | 380,0 | 13,5 | 450,0 | 15,6 | 520,0 | 17,0 | 566,7 | 18,9 | 630,0 | 21,5 | 716,7 |
| 10 | | 9,3 | 155,0 | 11,6 | 193,3 | 13,0 | 216,7 | 14,9 | 248,3 | 17,6 | 293,3 | 20,4 | 340,0 | 22,3 | 371,7 | 24,6 | 410,0 | 28,1 | 468,3 |
| 15 | | 10,6 | 117,8 | 13,3 | 147,8 | 14,9 | 165,6 | 17,0 | 188,9 | 20,1 | 223,3 | 23,3 | 258,9 | 25,4 | 282,2 | 28,1 | 312,2 | 32,1 | 356,7 |
| 20 | | 11,6 | 96,7 | 14,4 | 120,0 | 16,2 | 135,0 | 18,6 | 155,0 | 21,9 | 182,5 | 25,4 | 211,7 | 27,7 | 230,8 | 30,7 | 255,8 | 34,9 | 290,8 |
| 30 | | 13,0 | 72,2 | 16,2 | 90,0 | 18,2 | 101,1 | 20,8 | 115,6 | 24,6 | 136,7 | 28,4 | 157,8 | 31,0 | 172,2 | 34,3 | 190,6 | 39,1 | 217,2 |
| 45 | | 14,4 | 53,3 | 18,0 | 66,7 | 20,2 | 74,8 | 23,1 | 85,6 | 27,3 | 101,1 | 31,6 | 117,0 | 34,5 | 127,8 | 38,2 | 141,5 | 43,5 | 161,1 |
| 60 | 1 | 15,5 | 43,1 | 19,3 | 53,6 | 21,7 | 60,3 | 24,8 | 68,9 | 29,4 | 81,7 | 34,0 | 94,4 | 37,1 | 103,1 | 41,0 | 113,9 | 46,8 | 130,0 |
| 90 | 1,5 | 17,1 | 31,7 | 21,3 | 39,4 | 24,0 | 44,4 | 27,4 | 50,7 | 32,4 | 60,0 | 37,5 | 69,4 | 40,9 | 75,7 | 45,3 | 83,9 | 51,6 | 95,6 |
| 120 | 2 | 18,3 | 25,4 | 22,9 | 31,8 | 25,7 | 35,7 | 29,4 | 40,8 | 34,7 | 48,2 | 40,2 | 55,8 | 43,8 | 60,8 | 48,5 | 67,4 | 55,3 | 76,8 |
| 180 | 3 | 20,1 | 18,6 | 25,1 | 23,2 | 28,2 | 26,1 | 32,3 | 29,9 | 38,2 | 35,4 | 44,2 | 40,9 | 48,2 | 44,6 | 53,4 | 49,4 | 60,8 | 56,3 |
| 240 | 4 | 21,5 | 14,9 | 26,9 | 18,7 | 30,2 | 21,0 | 34,5 | 24,0 | 40,8 | 28,3 | 47,3 | 32,8 | 51,5 | 35,8 | 57,0 | 39,6 | 65,0 | 45,1 |
| 360 | 6 | 23,6 | 10,9 | 29,5 | 13,7 | 33,1 | 15,3 | 37,9 | 17,5 | 44,8 | 20,7 | 51,9 | 24,0 | 56,5 | 26,2 | 62,6 | 29,0 | 71,3 | 33,0 |
| 540 | 9 | 25,9 | 8,0 | 32,3 | 10,0 | 36,3 | 11,2 | 41,6 | 12,8 | 49,1 | 15,2 | 56,9 | 17,6 | 62,0 | 19,1 | 68,7 | 21,2 | 78,2 | 24,1 |
| 720 | 12 | 27,7 | 6,4 | 34,5 | 8,0 | 38,8 | 9,0 | 44,4 | 10,3 | 52,4 | 12,1 | 60,7 | 14,1 | 66,2 | 15,3 | 73,3 | 17,0 | 83,5 | 19,3 |
| 1080 | 18 | 30,3 | 4,7 | 37,8 | 5,8 | 42,5 | 6,6 | 48,6 | 7,5 | 57,5 | 8,9 | 66,6 | 10,3 | 72,5 | 11,2 | 80,3 | 12,4 | 91,5 | 14,1 |
| 1440 | 24 | 32,3 | 3,7 | 40,4 | 4,7 | 45,4 | 5,3 | 51,9 | 6,0 | 61,3 | 7,1 | 71,0 | 8,2 | 77,4 | 9,0 | 85,7 | 9,9 | 97,7 | 11,3 |
| 2880 | 48 | 37,8 | 2,2 | 47,2 | 2,7 | 53,0 | 3,1 | 60,7 | 3,5 | 71,7 | 4,1 | 83,1 | 4,8 | 90,5 | 5,2 | 100,2 | 5,8 | 114,2 | 6,6 |
| 4320 | 72 | 41,4 | 1,6 | 51,7 | 2,0 | 58,1 | 2,2 | 66,5 | 2,6 | 78,5 | 3,0 | 91,0 | 3,5 | 99,1 | 3,8 | 109,8 | 4,2 | 125,1 | 4,8 |
| 5760 | 96 | 44,2 | 1,3 | 55,2 | 1,6 | 62,0 | 1,8 | 70,9 | 2,1 | 83,8 | 2,4 | 97,1 | 2,8 | 105,8 | 3,1 | 117,2 | 3,4 | 133,5 | 3,9 |
| 7200 | 120 | 46,5 | 1,1 | 58,0 | 1,3 | 65,2 | 1,5 | 74,6 | 1,7 | 88,1 | 2,0 | 102,1 | 2,4 | 111,2 | 2,6 | 123,2 | 2,9 | 140,4 | 3,3 |
| 8640 | 144 | 48,4 | 0,9 | 60,5 | 1,2 | 67,9 | 1,3 | 77,7 | 1,5 | 91,8 | 1,8 | 106,3 | 2,1 | 115,9 | 2,2 | 128,3 | 2,5 | 146,2 | 2,8 |
| 10080 | 168 | 50,1 | 0,8 | 62,6 | 1,0 | 70,3 | 1,2 | 80,4 | 1,3 | 95,0 | 1,6 | 110,1 | 1,8 | 120,0 | 2,0 | 132,9 | 2,2 | 151,4 | 2,5 |

Starkniederschlagshöhen und -spenden gemäß KOSTRA-DWD-2020

Rasterfeld 147150

(Zeile 147, Spalte 150)

Örtliche Unsicherheiten in Abhängigkeit von Wiederkehrzeit T und Dauerstufe D

| Dauerstufe D | | Wiederkehrzeit T | | | | | | | | |
|--------------|-----|------------------|-----|-----|-----|------|------|------|------|-------|
| | | 1 a | 2 a | 3 a | 5 a | 10 a | 20 a | 30 a | 50 a | 100 a |
| min | Std | ± % | ± % | ± % | ± % | ± % | ± % | ± % | ± % | ± % |
| 5 | | 11 | 12 | 12 | 12 | 13 | 13 | 14 | 14 | 15 |
| 10 | | 13 | 14 | 15 | 16 | 17 | 18 | 18 | 18 | 19 |
| 15 | | 14 | 16 | 17 | 18 | 19 | 20 | 20 | 21 | 21 |
| 20 | | 15 | 17 | 18 | 19 | 21 | 21 | 22 | 22 | 23 |
| 30 | | 17 | 19 | 20 | 21 | 22 | 23 | 23 | 24 | 24 |
| 45 | | 17 | 19 | 20 | 21 | 23 | 23 | 24 | 24 | 25 |
| 60 | 1 | 17 | 19 | 20 | 22 | 23 | 24 | 24 | 25 | 25 |
| 90 | 1,5 | 17 | 19 | 20 | 21 | 22 | 23 | 24 | 24 | 25 |
| 120 | 2 | 16 | 19 | 20 | 21 | 22 | 23 | 23 | 24 | 24 |
| 180 | 3 | 16 | 18 | 19 | 20 | 21 | 22 | 22 | 23 | 24 |
| 240 | 4 | 15 | 17 | 18 | 19 | 20 | 21 | 22 | 22 | 23 |
| 360 | 6 | 14 | 16 | 17 | 18 | 20 | 20 | 21 | 21 | 22 |
| 540 | 9 | 14 | 16 | 17 | 18 | 19 | 20 | 20 | 21 | 21 |
| 720 | 12 | 14 | 15 | 16 | 17 | 18 | 19 | 20 | 20 | 21 |
| 1080 | 18 | 14 | 15 | 16 | 17 | 18 | 18 | 19 | 19 | 20 |
| 1440 | 24 | 14 | 15 | 16 | 17 | 17 | 18 | 19 | 19 | 19 |
| 2880 | 48 | 15 | 16 | 16 | 17 | 17 | 18 | 18 | 19 | 19 |
| 4320 | 72 | 16 | 16 | 17 | 17 | 18 | 18 | 18 | 19 | 19 |
| 5760 | 96 | 17 | 17 | 17 | 18 | 18 | 19 | 19 | 19 | 19 |
| 7200 | 120 | 17 | 18 | 18 | 18 | 18 | 19 | 19 | 19 | 20 |
| 8640 | 144 | 18 | 18 | 18 | 19 | 19 | 19 | 19 | 20 | 20 |
| 10080 | 168 | 19 | 19 | 19 | 19 | 19 | 19 | 20 | 20 | 20 |

Parameter für abweichende T und D

Lokationsparameter ξ (Xi)

15,86277543

Skalenparameter α (Alpha)

5,47944704

Formparameter κ (Kappa)

-0,1

1. Koutsoyiannis-Parameter θ (Theta)

0,03061763

2. Koutsoyiannis-Parameter η (Eta)

0,77526504

Parameter für dauerstufenübergreifende Extremwertschätzung nach KOUTSOYIANNIS et al. 1998.

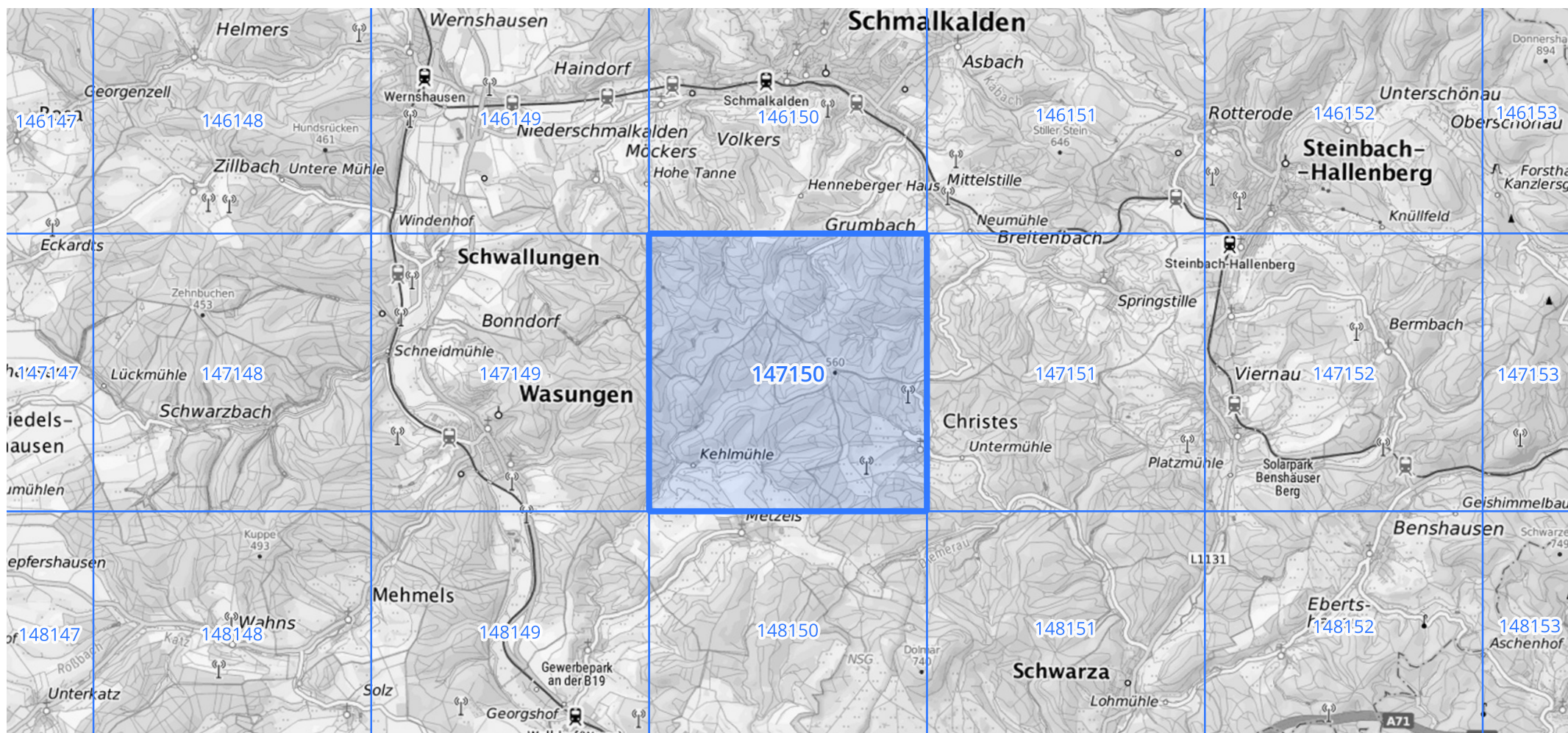
Siehe auch Anwendungshilfe zu KOSTRA-DWD-2020 des Deutschen Wetterdienstes.

Starkniederschlagshöhen und -spenden gemäß KOSTRA-DWD-2020

Rasterfeld 147150

(Zeile 147, Spalte 150)

Übersichtskarte des Rasterfeldes 147150, M 1 : 100 000



Quelle Rasterdaten: KOSTRA-DWD-2020 des Deutschen Wetterdienstes, Stand 12/2022.

Seite 3 von 3

Kartendarstellung: © Bundesamt für Kartographie und Geodäsie (2023), Datenquellen: https://sgx.geodatenzentrum.de/web_public/gdz/datenquellen/Datenquellen_TopPlusOpen.html

Für die Richtigkeit und Aktualität der Angaben wird keine Gewähr übernommen. Erstellt 01/2023.